

ПРОЧНОСТЬ КЛЕЕВЫХ НАХЛЕСТОЧНЫХ  
СОЕДИНЕНИЙ И ЯВЛЕНИЕ МАЛОНАПРЯЖНОСТИ

ДАВИДЯН Д.Б., ШИРИНЯН Р.А.

Դավիդյան Դ.Բ., Շիրինյան Բ.Ա., Սոսակար Վերաբեր միացումների ամրությունը և բերլարվածության երևույթը:

Davidian D.B., Shirinian R.A. Strength of glued overlap joints and phenomenon of low-stress level.

Ֆոտոառաջականության մերույզ ուսումնահիմքում է լարումների վարը բիբեկների սոսակար միացումներում, կախված բիբեկների ծայրերի երկրաշափությունից: Ցույց է տրված լարումների մեջ կուտակումները ֆունդամենտալ կամ վերացնելու հարավորությունը:

Методом фотоупругости изучено поведение напряжений в клеевых нахлесточных соединениях в зависимости от геометрии концов нахлестки. Показано, что в угловых точках нахлестки подбором соответствующих углов соединяемых материалов и клеевого слоя можно устранить или существенно снизить сильные концентрации напряжений.

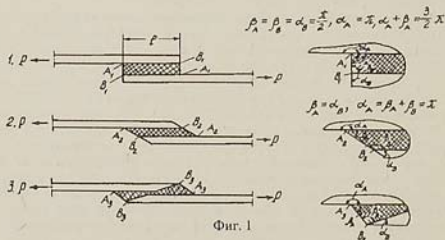
Получение высокопрочных клеевых нахлесточных соединений с помощью хрупких, относительно прочных (жестких) клеев затруднено тем, что на концах нахлестки возникают высокие концентрации напряжений, часто превышающие когезионную и адгезионную прочности клея. Из-за этого на практике вынужденно применяют пластичные клеи, которые значительно снижают общую прочность соединения.

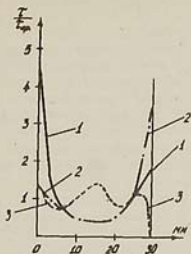
Исследование напряженно-деформированного состояния клеевых нахлесточных соединений посвящено много теоретических и экспериментальных работ, в числе которых важное место занимают работы Фолькерсена, Голанда-Рейснера, Майлонаса [1] и др. [2]. По теории Фолькерсена вдоль контактной поверхности учитываются только касательные напряжения и полностью игнорируются нормальные раздирающие напряжения. По теории Голанда-Рейснера учитываются также нормальные напряжения от изгиба. В обоих случаях распределение напряжений по толщине клеевого слоя принято постоянным, что и приводит, вероятно, к несоответствию с данными эксперимента. Экспериментами, проведенными Майлонасом методом фотоупругости [1], показана неравномерность распределения напряжений по толщине клеевого слоя на концах нахлестки. С другой стороны, клеевой слой имеет конечную толщину и заканчивается свободной поверхностью раздела между клеем и воздухом и, как показано там же, от формы этой границы за-

зависит распределение напряжений на концах нахлестки. Предположено также, что нерегулярность форм этой границы является причиной большого разброса прочностных показателей.

Установленное К.С. Чобаняном [3] явление малонапряженности края поверхности соединения в составном теле при действии общей нагрузки (открытие N 102) теоретически раскрывает характер поведения напряжений в угловых точках составного тела в зависимости от механических свойств соединяемых материалов и от геометрии края соединения. Это открытие позволяет целенаправленно изменять поведение напряжений на краях поверхности контакта. Целью настоящей работы является получение высокопрочного клеевого нахлесточного соединения с помощью жестких клеев с использованием явления малонапряженности, где в качестве составляющих материалов представлены клеевой слой и материал нахлестки.

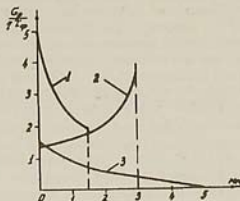
**Методика эксперимента.** Рассмотрены шесть типов клеевых нахлесточных соединений дюралюминиевых листов, соединенных эпоксидным клеем и отличающихся геометрией концов нахлестки. В настоящей работе приведены три типа соединения, как наиболее характерные (фиг.1). Исследовался характер напряженного состояния нахлестки методом фотоупругости на моделях клеевого слоя и сопоставлялся с результатами испытаний на прочность аналогичных конструкций. Для проведения фотоупругих исследований минимальная толщина клеевого слоя принята 1,5 мм, а остальные размеры соединения подобраны так, чтобы обеспечивались условия подобия расчетной схемы нахлесточного соединения. Разделка поверхностей нахлестки выполнялась по соответствующим шаблонам, а модели для клеевого слоя изготавливались из оптически чувствительного материала эпоксидного компаунда соответственно форме разделки нахлестки. При склеивании, во избежание внесения начальных напряжений склеивание проводилось без давления. Для всех типов соединений осевое усилие равно  $P = 25$  кг, длина и ширина нахлестки соответственно равны  $l = 30$  мм,  $a = 5$  мм, а общая длина  $L = 228$  мм. Фотоупругие исследования проводились на установке КСП-5 методом компенсации. Определялись касательные напряжения по контактным поверхностям нахлестки и нормальные раздирающие напряжения на сво-





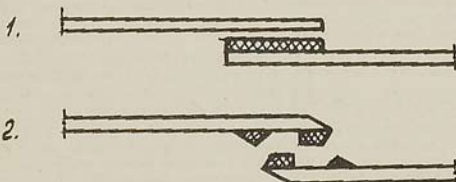
Расстояние от  $A_1$  по  
контактной поверхности

Фиг. 2



Расстояние от  $A_1$  по  
свободному контуру

Фиг. 3



Фиг. 4

бодном контуре. Для анализа поведения касательных и раздирающих напряжений введены коэффициент концентрации касательных напряжений  $K_t = \tau / \tau_{cp}$  и коэффициент концентрации раздирающих напряжений  $K_\sigma = \sigma / (2 \tau_{cp})$ , где  $\tau_{cp} = P / aL$ .

Типы нахлесточных соединений представлены на фиг. 1 и обозначены номерами: 1-стандартный, 2-со скосенным концом, 3-с переменным сечением клеевого слоя. Поскольку распределение напряжений симметрично относительно центра нахлестки, то эквивалентные угловые точки обозначим одинаковыми буквами с индексами, соответствующими типу нахлестки.

Образцы для испытаний на прочность клеевых дюралюминиевых листов при сдвиге изготовлены по размерам согласно ГОСТ [4], с соответствующей геометрией разделки концов нахлестки.

Для отношения модулей упругости дюралюминия и эпоксидного компаунда, равного 17, из [3] определены области малонапряженности, исходя из которых выбраны формы разделки.

#### Проведение эксперимента и анализ результатов

1. На кривой 1 фиг.2 представлен график распределения касательных напряжений вдоль контактной поверхности для стандартного образца. На крае нахлестки, в угловой точке  $A_1$ , где общий угол дюралюминия и клея составляет  $3/2\pi$  и клеевой слой примыкает к растягивающим элементам под прямым углом, имеет место сильная концентрация напряжений ( $K_t = 4.6$ ), а на другом конце нахлестки, в точке  $B_1$ , где общий угол равен  $\pi$  и линия раздела делит его пополам, концентратор находится в разгруженной области и коэффициент концентрации равен  $K_t = 1.9$ . Середина нахлестки, примерно  $2/3l$ , не работает.

На кривой 1 фиг.3 приведен график распределения раздирающих напряжений на свободном контуре клеевой прослойки. Как видно из графика, раздирающие напряжения в основном сконцентрированы в угловой точке  $A_1$ , где коэффициент концентрации раздирающих напряжений равен  $K_\sigma = 4.6$ . Напряжения от точки  $A_1$  к точке  $B_1$  сильно убывают и коэффициент концентрации в точке  $B_1$  имеет значение  $K_\sigma = 1.9$ . На кривой 1 фиг.4 из представленной картины разрушения видно, что разрушение носит адгезионный характер и очагом возникновения трещины является точка  $A_1$ , где коэффициенты концентрации и касательных и раздирающих напряжений имеют максимальные значения.

2. Второй тип соединения, приведенный на кривой 2 фиг.1, представляет собой нахлестку со скосенными концами. В этом случае клеевой слой в точке примыкания ( $A_2$ ) к дюралюминиевой основе составляет угол  $\beta = 30^\circ$ , где коэффициент концентрации касательных напряжений равен  $K_t = 1.4$ , который значительно меньше значения этого коэффициента в соответствующей угловой точке образца стандартного типа. На кривой 2 фиг.2 из графика касательных напряжений видно, что на другом конце нахлестки, в точке  $B_2$ , где  $\alpha = 30^\circ, \alpha + \beta = \pi$ , имеет место сильная концентрация напряжений ( $K_t = 3.8$ ). Из анализа графиков следует, что изменение геометрии концов нахлестки существенно сказывается на перераспределении напряжений. В этом случае середина нахлестки также не работает. Раздирающие напряжения для данного типа соединения, график распределения которых представлен кривой на кривой 2 фиг.3, имеют максимальные значения в точке  $B_2$  ( $K_\sigma = 3.8$ ). Из приведенной картины разрушения (рис. 2 фиг.4) видно, что разрушение хрупкое и носит когезионный характер. Разрушение начинается в точке  $B_2$  и вызвано, в основном, раздирающими напряжениями.

3. Третий тип соединений (рис. 3 фиг.1) представляет собой нахлестку с переменным сечением клеевого слоя. В данном случае, в угловой точке  $A_3$ , где клеевой слой примыкает к дюралюминию под углом  $\beta = 40^\circ$ , коэффициент концентрации касательных напряжений относительно невелик и равен  $K_t = 1.5$ . На кривой 3 фиг.2 из представленного графика распределения касательных напряжений видно, что несмотря на наличие в угловой точке  $A_3$  относительно слабого концентратора и конструктивно внесенного в середину нахлестки слабого внутреннего концентратора ( $K_t = 1.4$ ), распределение касательных напряжений по всей

поверхности контакта близко к равномерному, причем в восприятии передаваемого усилия активно участвует сердина нахлестки. Напряжения в точке  $B_3$  согласно условию малонапряженности равны нулю. Из графика (кривая 3 фиг.3) видно, что максимальное раздирающее напряжение достигается в точке  $A_3$  ( $K_{\sigma} = 1.5$ ).

В нижепредставленной таблице приведены результаты прочностных испытаний и вариационные коэффициенты соединений указанных типов.

N	Тип соединения	Прочность в МПа	Вариационный коэф.
1	Стандартный	7.3	13.8
2	Скошенный	13.1	28.3
3	С переменным сеч. кл. слоя	20.4	11.2

3. Из таблицы видно, что прочности рассмотренных соединений хорошо согласуются с общим характером распределения напряжений (фиг.2 и 3) и теоретически полученным поведением напряжений в угловых точках [3].

#### Выводы

1. Стандартный тип образца (первый тип), применяемый для испытания прочности kleев при сдвиге [4], непригоден для жестких kleев, так как касательные напряжения распределены неравномерно и доминирующими напряжениями при разрушении являются раздирающие напряжения.

2. Используя явление малонапряженности, подбором соответствующих комбинаций углов на краях нахлестки можно снизить или вовсе устранить сильные концентрации напряжений.

3. Из рассмотренных типов соединений наилучшей конструкцией нахлесточного kleевого соединения из жестких kleев является третий тип соединения, в котором касательные напряжения распределены более равномерно и прочность которого превышает прочность стандартного образца почти в три раза.

## ЛИТЕРАТУРА

1. Адгезия, kleи, цементы, прилои. Под редакцией Н. Деброина и Р. Гувинка. - Пер. с англ. Изд-во иностр., М.: 1954. 584 с.
2. Баркер Р.М., Хетт Ф. Расчет kleевых соединений в конструкциях летательных аппаратов. Ракетная техника и космонавтика. Пер. с англ., т. 2, N 12, с. 60-65 (1973).
3. Чобанян К.С. Напряжения в составных упругих телах. - Ереван: Изд-во АН АрмССР, 1987. 338 с.
4. Кардашов Д.А. Синтетические kleи. - М.: Химия, 1976. 504 с.

Институт механики АН Армении  
Поступила в редакцию 25.05.1991